

長波の研究用造波装置とその特性について(3)

東北大学工学部 教授 岩崎敏夫
大学院 学生 楊澤民

1. まえがき:

長波の研究用として、東北大学水理実験室に設けられた、自動制御造波装置の特性は、前報においてすでにその総合伝達関数を提示した。本報告の目的は、該造波装置の制御核心である、ロートバルブの作動特性について、さらに検討を進めることにより、全装置の特性を一層的確に把握することである。

2. ロートバルブ作動特性の全装置に対する意義:

上述の造波装置は、帰還水路に於ける、 500 mm より 350 mm ロートバルブの開度調節より、造波水槽で所望の波形を再生させる仕組みになっている。従に、ロートバルブの開度に関する作動特性は、装置の制御部分に古けず、唯一の遂行機構特性として、その占める重要性は明らかとなる。過去の解析では、各の伝達関数と比例動作要素と見なして、装置の他の部分、すなわち、水理関係部分の特性解析を先行した。比例動作要素と見なした場合の確実性は、周波数の低い領域ではほぼ一致するが、ある限界を越えたり以上高い周波数領域では、比例動作とから逸脱してくる。問題は、必要とする周波数領域が、累して比例動作特性の確実視を求める領域内に完全に属するか、また此比例動作より逸脱し大部分にまで及んでくるかにより、解析の結果が異なってくると思う。もし造波の目的が、一般性を失なえず全波形を再生させるのであれば、周知のごとく、かかる高い周波数の調和成分を含む可能性が存在する故、この際の解析はさうに困难になることか予想される。本解析では、装置の実験可能範囲内の周波数領域、古より津波模型実験で用いられる周波数領域の両端について検討し、主に、周波数領域 0.4% (すなわち、角周波数 2.512 rad/sec 、すなば、周期 2.5 sec) 以下の特性を調べることとした。

3. ロートバルブの作動機構および伝達関数:

ロートバルブの作動機構は、要約して次の構成を有す。

(1)油圧ボンプ。(2)噴射管。(3)補助ピストン。(4)作動シリニダーア。(5)クラッチ連接桿。(6)ロートバルブ。(7)復原装置。等々、その他に輸油銅管、歯車、ネジ、バネ等あり、その機能につき、以下順を追って概説する：まず、油圧ボンプの作動により、動力源として、油圧による圧力強度 5.5 kg/cm^2 をうる。そして電子式指示調節計より、入力の電流に変化をもたらした際、フォースコイル(Force-coil)の電磁場にも変化をきたし、噴射管の平衡位置よりの偏差を導き、それを補助ピストンを運動し、作動シリニダーアに圧力を加わる。この圧力により、クラッチ連接桿を動かし、ロートバルブが回転して開度を調節される。さらに、ロートバルブの回転より、歯車、傘歯車、スプロケットホイール、ネジ、バネ等をえて、噴射管の位置が回転角と比例して復原する、これが復原装置のものか働く。

以上の一連の作動をブロック線図で表わすと、図-1のようになる。ここで：

I: 入力の力。

x_1 : 噴射管の偏差。

y : 補助ピストン変位。

ΔP_c : 作動シリシグーラの圧力。

θ_R : ロートバルブ開度。

m : 復元装置の常係数。

k_s : 復元装置のバネ係数。

$R_1(S)$: 噴射管部の伝達関数。

$R_2(S)$: 補助ピストンの伝達関数。

$R_3(S)$: 作動シリシグーラの伝達関数。
等を表わしている。また $R_1(S)$ と $R_4(S)$ の伝達関数を解
析した結果、次の諸式を得る：

$$R_1(S) = \frac{1}{m_1 S^2 + D_1 S + (k_s + k_1)} \quad [1]$$

$$R_2(S) = \frac{A_2 K_{p2}}{m_2 S^2 + (D_2 - A_2^2 K_{e2}) S + k_2} \quad [2]$$

$$R_3(S) = \frac{K_{p3} K_{e3} A_3^2 \cdot S}{m_3 S^2 + (D_3 - A_3^2 K_{e3}) S + k_3} + K_{p3} \quad [3]$$

$$R_4(S) = \frac{k}{J_R S^2 + D_4 S} \quad [4]$$

式中、 M_i は $R_i(S)$ の示す機構の可動部分質量、 D_i はその粘性度または摩擦係数、 k_i はバネ負荷（ただし、 k_s は復元装置のバネ係数、 k_1 は入力部のバネ係数を表す）、 A_i は各ピストン断面積、 K_{pi} 、 K_{ei} は各ピストンの増加係数と内部抵抗、 J_R はロートバルブの慣性能率、 k は常数を示すものである。

以上の諸式を、図-1 のブロック線図に代入整理すれば、入力よりロートバルブの開度までの間に付いた総合伝達関数 $R(S)$ がわかる。もしロートバルブの慣性能率 J_R 及び摩擦係数 D_4 を本解析中の卓越要素と見なし、他の伝達関数を近似的に比例要素とおけば、総合伝達関数 $R(S)$ は次の 2 次遅れの形をとる：

$$R(S) = \frac{A_2 K_{p2} K_{p3}}{(k_s + k_1) k_2 (J_R S^2 + D_4 S) + A_2 K_{p2} K_{p3} k_s m} \quad [5]$$

もしロートバルブの慣性能率 J_R を無視すれば、次の 1 次遅れの形となる：

$$R(S) = \frac{A_2 K_{p2} K_{p3}}{(k_s + k_1) k_2 D_4 S + A_2 K_{p2} K_{p3} k_s m} \quad [6]$$

したがって、ロートバルブの摩擦係数 D_4 を無視すれば、比例要素の伝達関数が帰着する。

4. 実験による検討：

第 3 節より、ロートバルブの開度の特性を示す伝達関数 $R(S)$ は、近似的により方より、それが

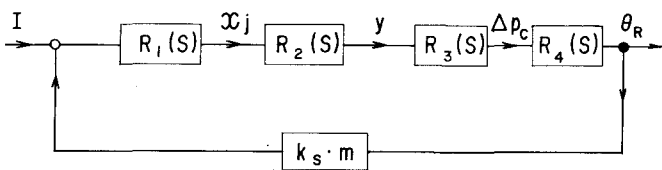


図-1. ブロック線図

$R_3(S)$: 作動シリシグーラの伝達関数。

$R_4(S)$: ロートバルブの伝達関数。等を表わしている。また $R_1(S)$ と $R_4(S)$ の伝達関数を解

析した結果、次の諸式を得る：

$$R_1(S) = \frac{1}{m_1 S^2 + D_1 S + (k_s + k_1)} \quad [1]$$

$$R_2(S) = \frac{A_2 K_{p2}}{m_2 S^2 + (D_2 - A_2^2 K_{e2}) S + k_2} \quad [2]$$

$$R_3(S) = \frac{K_{p3} K_{e3} A_3^2 \cdot S}{m_3 S^2 + (D_3 - A_3^2 K_{e3}) S + k_3} + K_{p3} \quad [3]$$

$$R_4(S) = \frac{k}{J_R S^2 + D_4 S} \quad [4]$$

式中、 M_i は $R_i(S)$ の示す機構の可動部分質量、 D_i はその粘性度または摩擦係数、 k_i はバネ負荷（ただし、 k_s は復元装置のバネ係数、 k_1 は入力部のバネ係数を表す）、 A_i は各ピストン断面積、 K_{pi} 、 K_{ei} は各ピストンの増加係数と内部抵抗、 J_R はロートバルブの慣性能率、 k は常数を示すものである。

以上の諸式を、図-1 のブロック線図に代入整理すれば、入力よりロートバルブの開度までの間に付いた総合伝達関数 $R(S)$ がわかる。もしロートバルブの慣性能率 J_R 及び摩擦係数 D_4 を本解析中の卓越要素と見なし、他の伝達関数を近似的に比例要素とおけば、総合伝達関数 $R(S)$ は次の 2 次遅れの形をとる：

$$R(S) = \frac{A_2 K_{p2} K_{p3}}{(k_s + k_1) k_2 (J_R S^2 + D_4 S) + A_2 K_{p2} K_{p3} k_s m} \quad [5]$$

もしロートバルブの慣性能率 J_R を無視すれば、次の 1 次遅れの形となる：

$$R(S) = \frac{A_2 K_{p2} K_{p3}}{(k_s + k_1) k_2 D_4 S + A_2 K_{p2} K_{p3} k_s m} \quad [6]$$

したがって、ロートバルブの摩擦係数 D_4 を無視すれば、比例要素の伝達関数が帰着する。

水比例要素，1次遅れ要素，または2次遅れ要素の形に成ることわかった。実際に古いて、我々の関心をもつ周波数領域内で、いかがる伝達関数 $R(S)$ の形をとるかの問題を決定するには、前述の周波数領域内で、周波数応答実験によてボード線図を描き、そのゲイン曲線と位相曲線の形に従つて、客観的につきめるのが妥当と思う。長い $R(S)$ の周波数応答実験を行はる、その関数の形を決めると同時に、必要な係數値を定めることにの方。以下の周波数応答実験について要旨を述べる：

まず、電子式指示調節計に内蔵しているPID動作において、積分時間在最大値、微分時間在最小値に古いて、比例動作在の駆動を止めよう設定する。次に入力を正弦波の形で変化せらるるために、帰還水位の指針を今しほう（ゼロ）に固定させ、カムを設定し、回転せらることにより、プログラムの指針を帰還水位の指針に沿つて正弦波状に往復させ、その記録をオシログラフで見る。同時に、出力ビレットのロートバルブ開度 θ_R を記録すために、復原装置のスロットルホイル軸に、可変抵抗器を取りつけ、アリッヂホックスを用ひて、出力 θ_R の波形をオシログラフに記録した。使用アロングラムのカムは、その1回転波数として、5波、7波、8波、9波、10波、11波、12波の各種類あり、回転時間は、2分、1分、0.5分と3つにわけて実験を行はる。また、出力波形の波高は、比例動作を適度調節することにより、変更しうるので、 $0^\circ \sim 90^\circ$ の間で正弦波状に変化させた外に、 $50^\circ \sim 90^\circ$ 間における正弦波状の実験を行はる。后者の場合、特に、伝達関数が2次遅れの形をもつ時、共振周波数附近の領域において、ゲインの値が隆起する傾向をもつて、前者と比べてより正確な曲線をうると思われる。さうに后者の場合に古いて、 $600\text{mm}\phi$ 横軸流ポンプを作動させ、ロートバルブに水を流した時、どの程度の影響をロートバルブの特性に与えかについて考察した。

以上の経験に従つて大実験結果のボード線図を、それと $350\text{mm}\phi$ 古より $500\text{mm}\phi$ ロートバルブにかけて、図-2 および図-3 で示した。この等ボード線図によると、 $500\text{mm}\phi$ ロートバルブについては、我々の実験した周波数領域において、位相遅れが周波数 0.4Hz のところでは、すでに約 140° の遅れをもつてゐる、またゲイン曲線も、2次遅れ要素の特徴として、共振周波数部分において隆起の徵候があるのと、その伝達関数は近似的に、2次遅れ要素であると判斷した。その意味するところは、第3節で述べた通り、 $500\text{mm}\phi$ ロートバルブの慣性能率 J_R 古より摩擦係数 D_4 も、數値的に無視しえない大きさに存在してゐることを示してゐる。 $350\text{mm}\phi$ ロートバルブでは、位相遅れが前者と比較して小さい値となつてゐるが、その傾向は、さらに高い周波数領域まで実験を進めば、2次遅れ要素の様相を呈するものと思われるし、ゲイン曲線に、共振周波数部の頗る大隆起現象があるので、これまで2次遅れ要素であると見がした。従つて、その慣性能率古より摩擦係数 J_R 、 D_4 は無視しえないことがある。下に、実験データより割り出した、各ロートバルブの伝達関数式を示す。そのボード曲線図を、参照のためには、図-2 および図-3 に示せた。

$$R(S)_{500\phi} = \frac{7.94}{0.51S^2 + 0.78S + 1} \quad [7]$$

$$R(S)_{350\phi} = \frac{7.94}{0.61S^2 + 0.45S + 1} \quad [8]$$

$600\text{mm}\phi$ 横軸流ポンプを作動させ、ロートバルブに水を流した場合のボード線図を、図-2 およ

図-3に示
してあるが
、その一般
的傾向は、
大体水を流
さない場合の
場合と一致
する。しかし
、350 mm
ロートバル
ブゲイン
値は、若干
異なった傾
向を示して
いる。今
後はさらに
実験を重ね
て、その真
相を究明し
たい。

5. 結論

第二節
で指摘した
ように、(1)
(2)両式は
、全周波数
領域にかけ
て、

各ロートバ
ルブ特性を
示すもので
ある。

限られた周波数領域内の近似的関係式を表現したにすぎない。さらに高い周波数領域の特性を調べるには、その領域の周波数応答実験を行なうと共に、水相应の定性解説により適切な結果をえらぶ水を以て思ふ。又は、本報告は、昭和44年度文部省一般研究(A)「自動制御系による津波の湾内変形に関する研究」の援助により行なったものである。本年度浮部卒業生、新井信一君の熱心かつ貴重な御協力に感謝し、ここに附記し、謝意を表す。

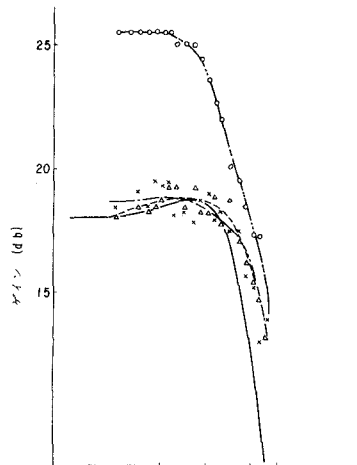


図 2 500 mm ϕ ロートバルブボード線図

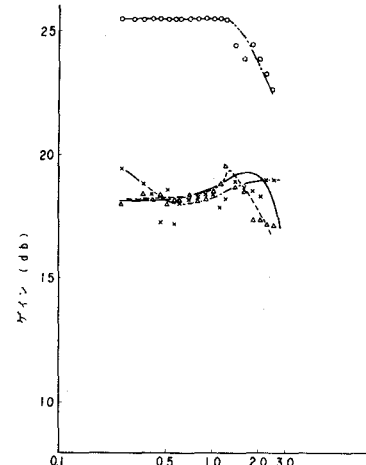


図 3 350 mm ϕ ロートバルブボード線図

